

## تخریب فتوکاتالیستی آموکسیسیلین و لووفلوکساسین از محلول‌های آبی

### با استفاده از $\text{Ag/ZnO}$

محمد رضا رضایی<sup>\*</sup>؛ محمد حسین صیادی<sup>†</sup>؛ ندا روانخواه<sup>‡</sup>

۱ - دانشیار گروه محیط زیست، دانشکده منابع طبیعی و محیط زیست، دانشگاه بیرجند، بیرجند، ایران

۲ - دانشجوی دکتری محیط زیست، گروه محیط زیست، دانشکده منابع طبیعی و محیط زیست، دانشگاه بیرجند

(تاریخ دریافت ۹۹/۱۱/۰۹-تاریخ پذیرش ۰۰/۰۷/۱۰)

#### چکیده:

آلدگی آب ناشی از آنتیبیوتیک‌ها مشکلی جدی در ایران و جهان است. بنابراین استفاده از روشی مؤثر برای حذف آلدگی آنتیبیوتیک ضرورت دارد. در این پژوهش، تخریب آنتیبیوتیک‌های آموکسیسیلین و لووفلوکساسین در محلول‌های آبی با استفاده از فتوکاتالیز  $\text{Ag/ZnO}$  تحت تابش UV-A (۳۶۵ نانومتر) بررسی شد. کامپوزیت  $\text{Ag/ZnO}$  با استفاده از پراکندگی اکسید روی در نقره‌نیترات سنتز شد. ساختار و ویژگی‌های نانوذرات  $\text{Ag/ZnO}$  با استفاده از روش‌های XRD، FESEM و EDX مشخص شد. همچنین اثرهای pH محلول (۱۱-۳)، غلظت اولیه آموکسیسیلین و لووفلوکساسین (۳۰-۵ میلی‌گرم بر لیتر)، مقدار کاتالیست (۰/۰۷۵-۰/۰۷۵ گرم بر لیتر) و مدت زمان واکنش (۱۵-۱۲۰ دقیقه) بر کارایی فرایند بررسی شد. غلظت آنتیبیوتیک‌ها و TOC (Total Organic Carbon) به ترتیب با استفاده از اسپکتروفوتومتر مرئی- فرابنفش و آنالایزر تعیین شد. نتایج نشان داد که بیشترین بازده حذف آموکسیسیلین ۹۳/۷ درصد در شرایط بهینه غلظت ۱۵/۰ گرم بر لیتر  $\text{Ag/ZnO}$  pH برابر ۵، غلظت ۵ میلی‌گرم بر لیتر آموکسیسیلین و زمان تماس ۱۲۰ دقیقه به دست آمد. میزان حذف TOC در این شرایط ۶۷/۸۶ درصد بود. شرایط بهینه حذف لووفلوکساسین در مقدار ۱۵/۰ گرم بر لیتر کاتالیست، pH ۹، زمان واکنش ۱۲۰ دقیقه و غلظت ۵ میلی‌گرم بر لیتر لووفلوکساسین به دست آمد. در این شرایط، میزان حذف لووفلوکساسین و TOC به ترتیب ۸۸/۴ و ۸۴/۵۶ درصد بود. نتایج این پژوهش نشان داد که نانوذرات  $\text{Ag/ZnO}$  در حضور پرتو فرابنفش می‌توانند به طور مؤثری آموکسیسیلین و لووفلوکساسین را از محلول‌های آبی حذف کنند.

**کلید واژگان:** آنتیبیوتیک، تابش فرابنفش، فرایند فتوکاتالیستی، محلول آبی، نانوذره  $\text{Ag/ZnO}$

ایجاد مقاومت باکتریایی و تهدید سلامت عمومی در اکوسیستم‌های آبی مورد توجه بسیار قرار گرفته‌اند (Li *et al.*, 2019). در تحقیقی در رودخانه کرج در سال ۱۳۹۴ مشخص شد که میانگین غلظت آنتی‌بیوتیک‌ها در آب رودخانه تا حد چشمگیری زیاد بود، به‌طوری که برای آموکسی‌سیلین ۲۳۰۵ میکروگرم بر لیتر گزارش شد (Mortazavi & Norozi Fard, 2017). آلدگی سیستم‌های آبی توسط آنتی‌بیوتیک‌ها تهدیدی جدی برای سلامت انسان و جوامع بشری به شمار می‌رود و حذف این ترکیبات از آب‌های آلوده بسیار دشوار است. روش‌های متعددی برای حذف این آلاندده‌ها از فاضلاب و کاهش اثرهای منفی آنها بر محیط زیست کاربرد یافته‌اند (Yazdani *et al.*, 2018). تا کنون روش‌های حذف فیزیکی، شیمیایی و بیولوژیکی در زمینه حذف آلاندده‌های آلی استفاده شده است. روش‌های مختلف اکسیداسیون پیشرفته از جمله تابش پرتو فرابنفش، فنتون و اُزن کاربرد گسترده‌ای دارند. اما این روش‌ها مشکلاتی مانند مصرف زیاد انرژی و تولید آلاندده ثانویه را سبب می‌شوند. بنابراین کاربرد فتوکاتالیست‌های نیمه‌هادی به‌دلیل ارزان بودن، مؤثر بودن، استفاده از انرژی طبیعی و تجدیدپذیر خورشید و سازگاری با محیط زیست به عنوان روشی مقرن به صرفه در تصفیه آلاندده‌های محیط زیستی با استقبال فراوان روبرو شده است (Dou *et al.*, 2020). در سال‌های اخیر، از فتوکاتالیست‌های نیمه‌هادی به عنوان نوعی فناوری سبز برای از بین بردن آلاندده‌های مختلف فاضلاب استفاده شده است. فتوکاتالیست‌های فعال تحت تابش نور مرئی و دوستدار محیط زیست، به‌دلیل کاربردهای زیاد در زمینه انرژی و تصفیه آب و

## ۱. مقدمه

امروزه آلاندده‌های نوظهور به‌دلیل تهدید سلامت انسان و اثر نامطلوب بوم سمشناسی بر موجودات اکوسیستم از بزرگ‌ترین نگرانی‌های محیط زیستی به شمار می‌روند (Sayadi *et al.*, 2010). داروها گروهی مهم از آلاندده‌های نوظهورند که همزمان با رشد روزافزون فعالیت‌های صنعتی تهدیدی جدی برای منابع آب محسوب می‌شوند. داروها انواعی از ترکیبات هستند که به گروه‌های مختلفی مانند داروهای ضددرد و ضدالتهاب، آنتی‌بیوتیک‌ها، داروهای ضدصرع، بتا‌بلکرها، هورمون‌ها و ضدافسردگی‌ها تقسیم می‌شوند. تا کنون بیش از ۵۰۰۰ ترکیب دارویی مختلف در جهان برای کاربردهای پزشکی و دامپزشکی استفاده شده است (Sayadi *et al.*, 2012). ترکیبات دارویی به‌طور معمول ساختاری پیچیده با قابلیت زیست‌تحریب‌پذیری اندک دارند که از منابع نقطه‌ای مانند فاضلاب و مراکز دفن پسماند و منابع غیر نقطه‌ای مانند رواناب مزارع و پساب‌های انسانی وارد محیط زیست می‌شوند (Zhong *et al.*, 2020). آنتی‌بیوتیک‌ها از راه‌های گوناگونی وارد محیط زیست می‌شوند. فاضلاب و پسماند کارخانه‌های داروسازی بیمارستان‌ها از مهم‌ترین منابع آلوده‌کننده محیط زیست هستند، اما داروهای مصرف‌نشده، تاریخ‌گذشته و داروهای دفع شده از راه مدفوع و ادرار از مهم‌ترین منابع لووفلاکسیسن و آموکسی‌سیلین در محیط زیست هستند، به‌طوری که براساس گزارش سازمان بهداشت جهانی سهم مدفوع در آموکسی‌سیلین به محیط ۶۰ درصد است (Ghannadi, 2018). در چند دهه اخیر آنتی‌بیوتیک‌های تخلیه شده به آب‌های سطحی و زیرزمینی به‌دلیل خطر تأثیرات سمی آنها،

است. هدف این پژوهش، سنتز موفقیت‌آمیز و تعیین ویژگی‌های نانوفتوکاتالیست اکسید روی آلایش شده با نقره و کاربرد آن در تخریب فتوکاتالیستی آنتی‌بیوتیک‌های آموکسیسیلین و لووفلوکساسین از محلول‌های آبی است. اثر پارامترهای مهم شامل غلظت کاتالیست، pH، غلظت اولیه آنتی‌بیوتیک‌ها و زمان تماس نیز در فرایند تخریب فتوکاتالیستی آموکسیسیلین و لووفلوکساسین تحت تابش فرابنفش بررسی می‌شود.

## مواد و روش‌ها

### ۱-۱. مواد شیمیایی لازم

آنتمی‌بیوتیک‌های تجاری آموکسیسیلین و لووفلوکساسین (خلوص ۹۹ درصد) و اکسید روی Sigma (ZnO) با خلوص ۹۹ درصد از شرکت Aldrich آمریکا تهیه شد. نیترات نقره ( $\text{AgNO}_3$ ) با خلوص ۹۹ درصد از نمایندگی شرکت Merck آلمان در تهران خریداری شد.

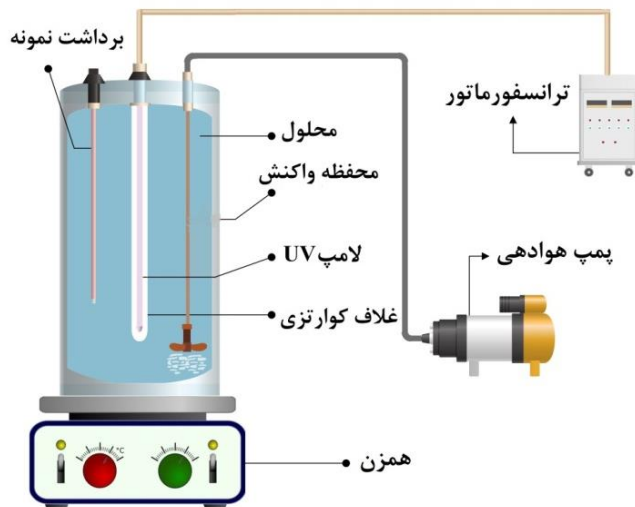
### ۱-۲. سنتز فتوکاتالیست $\text{Ag/ZnO}$

۱ گرم پودر اکسید روی (با اندازه ذرات تقریباً ۲۵ نانومتر) در ۱۰ میلی‌لیتر محلول  $۰/۰۳$  مولار نیترات نقره حل شد. ترکیب به دست آمده به مدت ۲۰ دقیقه در معرض اولتراسونیک قرار گرفت تا محلول یکنواختی ایجاد شود. محلول تشکیل شده سانتریفیوژ شده و چند بار توسط آب دوبار تقطیر و اتانول شسته و شو داده شد. ماده تولید شده نهایی به مدت ۶ ساعت در آون با دمای  $۷۰$  درجه سلسیوس خشک شد (Patil *et al.*, 2014).

### ۱-۳. تعیین مشخصات فتوکاتالیست

تعیین ویژگی‌های ساختاری فتوکاتالیست سنتز شده  $\text{Ag/ZnO}$  با استفاده از آنالیزهای پراش پرتو ایکس

فاضلاب توجه زیادی را جلب کرده‌اند (Sayadi *et al.*, 2020). در پژوهشی درباره تخریب فتوکاتالیستی با استفاده از تیتانیوم دی‌اکسید روی آنتی‌بیوتیک آموکسیسیلین، نتایج در شرایط بهینه نشان داد که بازده حذف به  $۸۳/۵۱$  درصد رسید (Moosavi *et al.*, 2019). در چند دهه اخیر، فتوکاتالیست  $\text{ZnO}$  به دلیل شکاف باند گسترده، سنتز آسان، حساسیت نوری و ظرفیت جذب زیاد، پایداری شیمیایی و حرارتی تحت شرایط واکنش، صرفه اقتصادی و سمی نبودن در فرایند تخریب فتوکاتالیستی آلاینده‌های محیط‌زیستی به طور گسترده کاربرد یافته است. با وجود این تطبیق‌پذیری‌ها،  $\text{ZnO}$  به محدودیت‌هایی مانند تحرک زیاد الکترون آن و قابلیت بازترکیبی مجدد جفت الکترون-حفره‌ها دچار است. برای غلبه بر این محدودیت‌ها، نانوساختار  $\text{ZnO}$  با استفاده از نانوذرات فلزهای نجیب مانند طلا، نقره، پالادیوم و پلاتین پوشش داده می‌شود که سبب تقویت فعالیت فتوکاتالیستی  $\text{ZnO}$  به عنوان نوعی فتوکاتالیست شناخته شده در تخریب آلاینده‌های آلی می‌شود (Mou *et al.*, 2018). تحقیقات زیادی نقره را به دلیل توانایی در جداسازی جفت‌های الکترون-حفره با استفاده از جذب الکترون‌های باند هدایت، پرکاربردترین فلز برای بهبود خصوصیات فتوکاتالیستی  $\text{ZnO}$  خوانده‌اند. نقره از دیدگاه اقتصادی نیز در مقایسه با دیگر فلزات نوبل دارای قیمت مناسب‌تری است و می‌تواند خاصیت فتوکاتالیستی نانوذرات اکسید روی را افزایش دهد (Martínez-Vargas *et al.*, 2019). براساس بررسی منابع و تحقیقات صورت گرفته درباره این نانوفتوکاتالیست در فرایندهای تخریب نوری مواد آلی از جمله داروها و آنتی‌بیوتیک‌ها گزارشی ارائه نشده



شکل ۱- طرح شماتیک راکتور فتوکاتالیستی استفاده شده در فرایند

فیلیپس با توان ۶ وات و طول موج ۳۶۵ نانومتر بود. این لامپ به منظور جلوگیری از اتلاف نور تابیده شده، به صورت مرکزی در امتداد طول راکتور و در محفظه‌ای از جنس کوارتز قرار گرفت که روی درِ فتوراکتور ثابت شد. لولهٔ شیشه‌ای کوارتز اطراف لامپ مانع تماس مستقیم لامپ و محلول می‌شد. پمپ هوا به منظور هوادهی و یکنواخت کردن محلول به این مجموعه متصل شد. اختلاط در راکتور با استفاده از همزن مغناطیسی و مگنت صورت گرفت. نمونه‌گیری از طریق حفرهٔ تعییه شده در قسمت فوقانی فتوراکتور انجام پذیرفت.

**۵- روش اجرای آزمایش‌های فتوکاتالیستی**  
آزمایش‌های تخریب نوری آنتی‌بیوتیک‌ها براساس طرح یک عامل در یک زمان انجام گرفت. سوسپانسیون مشکل از محلول هر یک از آنتی‌بیوتیک‌ها و کاتالیست به حجم ۱۰۰ میلی‌لیتر به راکتور وارد شد. بهینه بودن متغیرها با استفاده از روش یک فاکتور در هر زمان تعیین شد. طی این روش در هر مرحله یکی از پارامترها، متغیر و پارامترهای دیگر، ثابت در نظر گرفته شد. در هر

(XRD)، پراش انرژی پرتو ایکس (EDX) و میکروسکوپ الکترونی روبشی (SEM) انجام گرفت. برای تعیین ساختار کریستالی کاتالیست از دستگاه طیف‌سنجی پراش پرتو ایکس PHILIPS مدل PW1730 استفاده شد. مورفولوژی سطح و اندازه ذرات با میکروسکوپ الکترونی روبشی گسیل میدانی TESCAN مدل MIRA3 بررسی شد. عناصر موجود در ساختار فتوکاتالیست با استفاده از دستگاه TESCAN طیف‌سنجی پراکنش انرژی (EDX) مدل MIRA3 آنالیز شدند.

#### ۴-۲. مشخصات راکتور استفاده شده

آزمایش‌ها در راکتور منقطع یا ناپیوسته شامل استوانه‌ای فلزی از جنس استیل ضدزنگ با حجم مفید ۲۵۰ میلی‌لیتر انجام گرفت. طرح کلی راکتور فتوکاتالیستی استفاده شده در شکل ۱ نشان داده شده است.

در این سیستم منبع تابش برای تأمین انرژی لازم به منظور انتقال الکترون از نوار ظرفیت به نوار رسانش نانوذرات و شرایط انجام فرایند فتوکاتالیستی، یک لامپ فرابنفش از نوع UV-A black light مدل

آموکسیسیلین و لووفلوکساسین به دستگاه داده شد تا تشخیص داده شده و منحنی کالیبراسیون هر یک از آنها مشخص شود.

بازدهی تخریب (درصد) آنتیبیوتیک‌ها از معادله ۱ محاسبه شد:

$$(E\%) = \frac{(C_0 - C)}{C_0} \times 100 \quad (\text{معادله ۱})$$

در این معادله  $E$  میزان تجزیه آنتیبیوتیک بر حسب درصد و  $C_0$  و  $C$  به ترتیب غلظت اولیه و نهایی Ahmadpour *et al.*, (2020a). حد کارایی فرایند در معدنی‌سازی ماده آلی از طریق اندازه‌گیری مقدار کل کربن آلی (دستگاه Corporation Analytic Jena 3100 TOC/TN AG) در سه تکرار سنجیده شد.

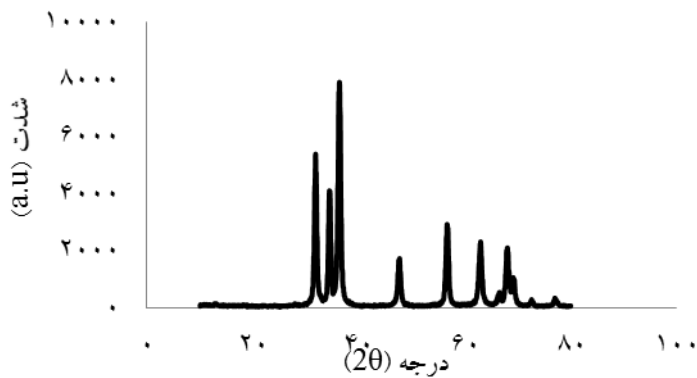
## ۲. نتایج

### ۱-۳. ویژگی‌های فتوکاتالیست $\text{Ag/ZnO}$

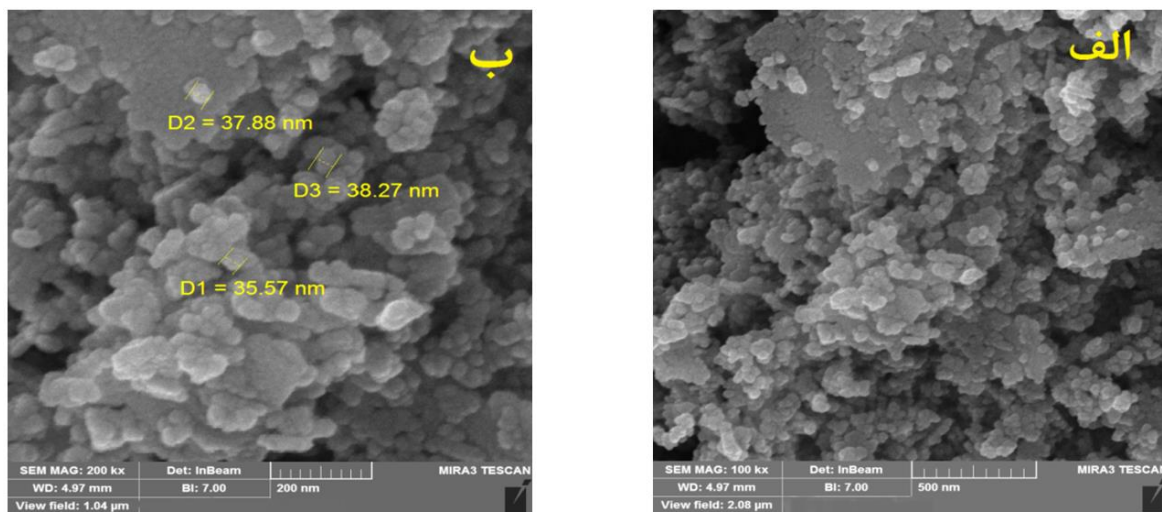
مشخصات ساختاری نانوذرات  $\text{Ag/ZnO}$  با استفاده از تکنیک‌های پراش پرتو ایکس، میکروسکوپ الکترونی روبشی و آنالیز کیفی عنصری EDX بررسی شد. شکل ۲ الگوی پراش پرتو ایکس  $\text{Ag/ZnO}$  در محدوده زاویه پرتوودهی  $2\theta = 10^\circ - 80^\circ$  را نشان می‌دهد. با تعیین زاویه تشکیل پیک‌های XRD و شدت نسبی هر پیک، می‌توان نوع مواد و فاز آنها را به صورت کیفی شناسایی کرد. پیک‌های تیز و شاخص در موقعیت ۳۱، ۳۴، ۳۶، ۴۷ و ۵۶ درجه مربوط به دستهٔ صفحات (۰۰۲) (۱۰۰) (۱۰۱) (۱۰۲) (۱۱۰) هستند که مطابقت خوبی با کارت استاندارد اکسید روی دارد. ساختار به دست آمده به صورت کریستال مکعبی بوده و شدت زیاد پیک  $\text{ZnO}$  مشخصه  $\text{ZnO}$  بیانگر زیاد بودن درصد ترکیب  $\text{ZnO}$  در ساختار فتوکاتالیست سنتز شده است.

شکل ۳ تصویر SEM مربوط به کاتالیست  $\text{Ag/ZnO}$

مرحله از آزمایش، محلول حاوی غلظت مورد نظر آلینده در شرایط مختلف متغیرهای طراحی شده در راکتور تزریق شد. محلول قبل از مواجهه با تابش پرتو فرابنفش، به منظور واکنش‌های جذب و واجذب به مدت ۳۰ دقیقه در تاریکی نگهداری شد. مرحله اول آزمایش‌ها به منظور تعیین pH بهینه انجام گرفت. تنظیم pH نمونه‌ها توسط محلول اسید کلریدریک ۰/۱ نرمال و هیدروکسید سدیم ۰/۱ نرمال انجام گرفت. این مرحله در pH با مقدادر ۳، ۵، ۷، ۹ و ۱۱ در زمان‌های ۱۵، ۳۰، ۴۵، ۶۰، ۹۰ و ۱۲۰ دقیقه در نمونه‌ای با غلظت اولیه ۱۰ میلی‌گرم در لیتر از آموکسیسیلین و لووفلوکساسین و غلظت نانوذرة ۰/۱۵ گرم در لیتر انجام گرفت. مرحله دوم آزمایش‌ها به منظور تعیین مناسب‌ترین غلظت آموکسیسیلین و لووفلوکساسین در مقدادر ۵، ۱۰، ۲۰ و ۳۰ میلی‌گرم در لیتر، در pH بهینه به دست آمده از مرحله قبل و در مدت زمان‌های مرحله قبل به انجام رسید. مرحله نهایی به منظور تعیین غلظت بهینه کاتالیست در مقدادر ۰/۰۷۵، ۰/۱۵ و ۰/۰۳ گرم در لیتر بررسی شد. این مرحله در pH بهینه، غلظت بهینه آموکسیسیلین و لووفلوکساسین و همان زمان‌های مراحل قبلی انجام گرفت. بعد از نمونه‌برداری هر یک از نمونه‌ها برای جداسازی نانوذرات به مدت ۲۰ دقیقه در دستگاه سانتریفیوژ با قدرت چرخش ۲۰۰۰ دور در دقیقه قرار گرفت و سپس با استفاده از کاغذ صافی فیلتر شد. غلظت آموکسیسیلین و لووفلوکساسین در نمونه‌های آزمایش شده با استفاده از دستگاه اسپکتروفوتومتر مرئی- فرابنفش (مدل Corporation Shimadzu Biospec-1601 به ترتیب در ماكزيم پيك جذبي ۲۳۰ و ۲۸۸ نانومتر تعیین شد. غلظت‌های مشخصی از محلول‌های



شکل ۲- الگوی پراش پرتو ایکس (XRD) فتوکاتالیست Ag/ZnO



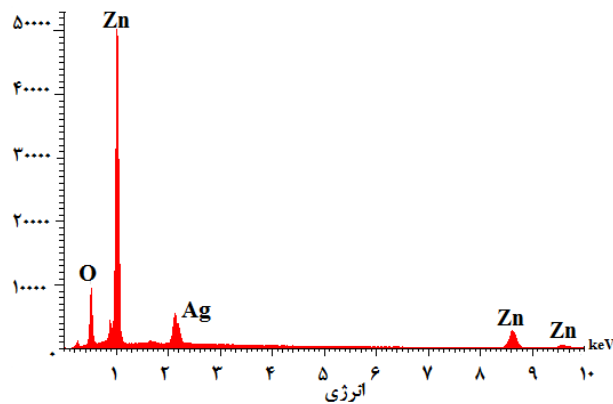
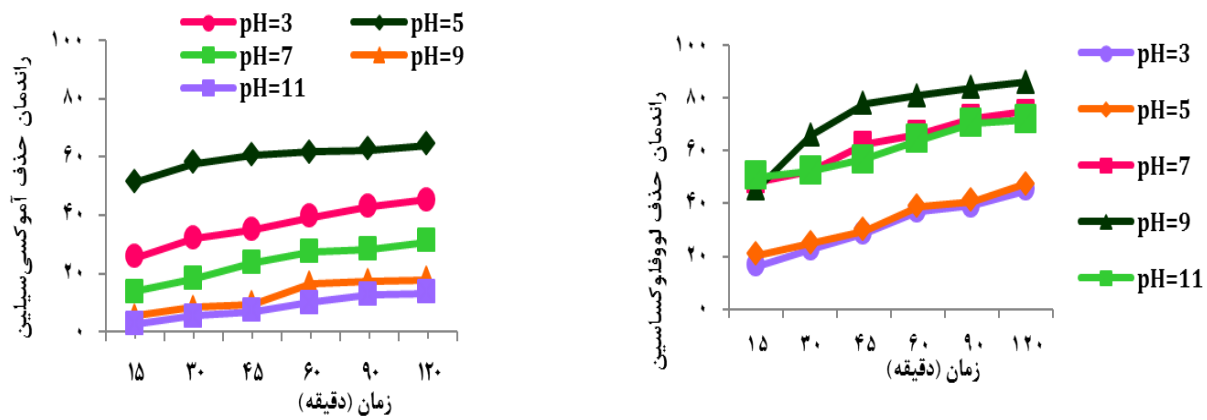
شکل ۳- تصاویر FESEM فتوکاتالیست Ag/ZnO. (الف) مقیاس ۵۰۰ نانومتر؛ (ب) مقیاس ۲۰۰ نانومتر

ساختمان نهایی Ag/ZnO تأیید می‌کند. درصد عناصر تشکیل‌دهنده در نمونه سنتز شده نیز مشخص شد. حداقل درصد اتمی برای روی و پس از آن به ترتیب برای اکسیژن و نقره مشاهده می‌شود.

## ۲-۳. تأثیر pH محلول بر کارایی فرایند تخریب فتوکاتالیستی آموکسی‌سیلین و لووفلوکساسین

تأثیر pH محلول بر کارایی فرایند تخریب فتوکاتالیستی آنتی‌بیوتیک‌های آموکسی‌سیلین و لووفلوکساسین در محدوده ۳ تا ۱۱ با غلظت اولیه ۱۰ میلی‌گرم بر لیتر آموکسی‌سیلین و لووفلوکساسین،

را نشان می‌دهد. ذرات شکل‌گرفته ساختاری کروی دارند و میانگین اندازه ذرات در حدود ۳۷ نانومتر است. این شکل خوش‌هایی از ذرات را نشان می‌دهد که خود از به هم پیوستن نانوذرات کروی تشکیل شده‌اند. نتایج نشان می‌دهد که سنتز نانوذرات نقره روی ذرات ZnO موفقیت‌آمیز بوده است و می‌توان گفت یون‌های نقره در شبکه کریستالی میزبان قرار گرفته‌اند. نانوذره‌های نقره از نانوذره‌های اکسید روی روشن‌تر به نظر می‌رسند و قابل شناسایی‌اند. ترکیب عنصری مواد سنتز شده، با استفاده از روش EDX شناسایی شد. طیف به دست‌آمده از آنالیز EDX در شکل ۴ وجود روی، اکسیژن و نقره را در

شکل ۴- طیف حاصل از آنالیز SEM-EDX فتوکاتالیست  $\text{Ag}/\text{ZnO}$ 

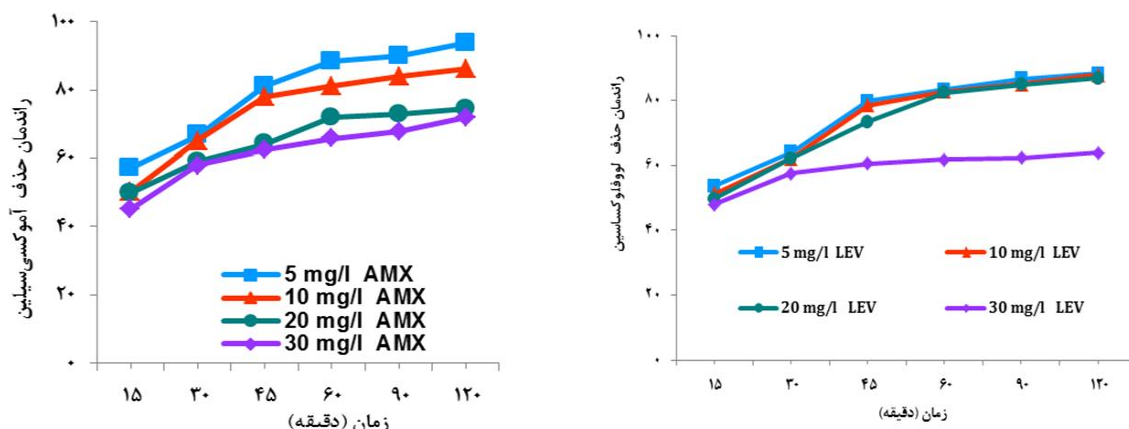
شکل ۵- تأثیر pH محلول بر کارایی فرایند تخریب (درصد حذف) فتوکاتالیستی آموکسیسیلین و لووفلوکساسین (غلظت اولیه آموکسیسیلین و لووفلوکساسین ۱۰ میلی‌گرم بر لیتر، غلظت فتوکاتالیست ۰/۱۵ گرم بر لیتر)

لووفلوکساسین افزایش پیدا کرد و سپس در pH برابر ۱۱ کارایی فرایند کاهش یافت.

### ۳-۳. تأثیر غلظت‌های اولیه آموکسیسیلین و لووفلوکساسین بر کارایی فرایند تخریب فتوکاتالیستی

پس از تعیین pH بهینه، تأثیر غلظت‌های مختلف آموکسیسیلین و لووفلوکساسین (۵، ۱۰، ۲۰ و ۳۰ میلی‌گرم بر لیتر) بر کارایی فرایند تخریب فتوکاتالیستی در شرایط pH برابر ۵ و ۹ به ترتیب برای آموکسیسیلین و لووفلوکساسین، غلظت ۰/۱۵ گرم بر لیتر فتوکاتالیست و مدت زمان ۱۲۰ دقیقه

غلظت ۰/۱۵ گرم بر لیتر فتوکاتالیست و مدت زمان ۱۲۰ دقیقه در شکل ۵ آورده شده است. نتایج نشان داد که مقدار pH محلول بر کارایی فرایند تخریب فتوکاتالیستی آموکسیسیلین و لووفلوکساسین بسیار مؤثر است. بیشترین شدت تخریب آموکسیسیلین در pH برابر ۵ با ۶۳/۹۳ درصد بود. بهطوری که با افزایش pH از ۵ به ۱۱، کارایی تخریب آموکسیسیلین به ترتیب از ۶۳/۹۳ درصد به ۳۰/۷، ۱۸ و ۱۳/۲ درصد کاهش یافت. بیشترین کارایی تخریب لووفلوکساسین در pH برابر ۹ با حدود ۸۶ درصد به دست آمد. همچنان که مشهود است، با افزایش pH از ۳ تا ۹، کارایی تخریب فتوکاتالیستی



شکل ۶- تأثیر غلظت اولیه آموکسیسیلین و لووفلوکساسین بر کارایی فرایند تخریب فتوکاتالیستی (غلظت اولیه فتوکاتالیست ۰/۱۵ گرم بر لیتر، pH محلول آموکسیسیلین و لووفلوکساسین به ترتیب ۵ و ۹)

(شکل ۷). مطابق شکل ۷، با افزایش غلظت فتوکاتالیست  $\text{Ag/ZnO}$  از ۰/۰۷۵ تا ۰/۱۵ گرم، بیشترین کارایی تخریب آموکسیسیلین و لووفلوکساسین مشاهده شد؛ اما با افزایش غلظت به ۰/۳ گرم، کارایی فرایند تخریب فتوکاتالیستی آموکسیسیلین و لووفلوکساسین کاهش یافت. نتایج ارائه شده در شکل ۷ گویای عملکرد بهتر فتوکاتالیست در غلظت ۰/۱۵ گرم بر لیتر است که غلظت بهینه فتوکاتالیست در نظر گرفته شد.

### ۳-۵. تأثیر زمان واکنش بر کارایی فرایند تخریب فتوکاتالیستی آموکسیسیلین و لووفلوکساسین

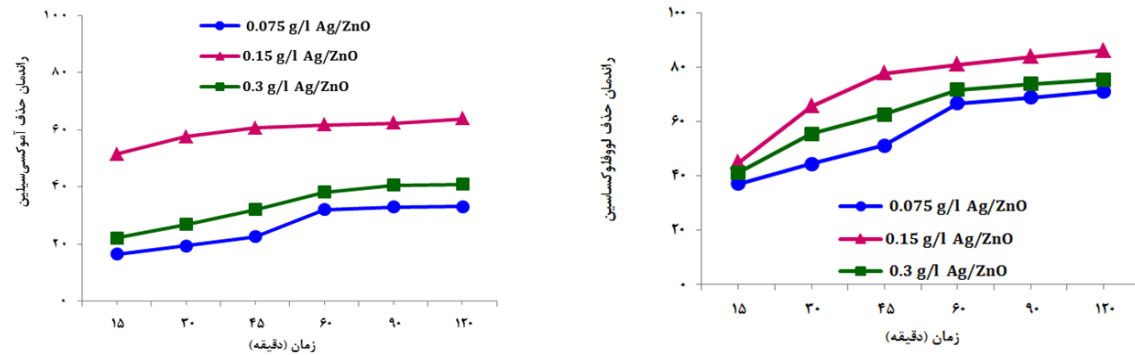
در این مرحله تأثیر مدت زمان واکنش بر تخریب فتوکاتالیستی در شرایط pH برابر ۵ و ۹ به ترتیب برای آموکسیسیلین و لووفلوکساسین، غلظت ۰/۱۵ گرم بر لیتر فتوکاتالیست و غلظت ۵ میلی گرم بر لیتر آموکسیسیلین و لووفلوکساسین بررسی شد. شکل ۸ نتایج آزمایش طی مدت زمان های ۱۵، ۳۰، ۴۵، ۶۰، ۹۰ و ۱۲۰ دقیقه را نشان می دهد. همان طور که در شکل ۸ مشخص است، به طور کلی با افزایش مدت

بررسی شد که نتایج در شکل ۶ نشان داده شده است. بیشترین کارایی تخریب آموکسیسیلین در غلظت ۵ میلی گرم بر لیتر با ۹۳/۷ درصد و کمترین کارایی آن در غلظت ۳۰ میلی گرم بر لیتر با ۷۱/۹ درصد به دست آمد. کارایی تخریب فتوکاتالیستی برای غلظت های ۵ و ۳۰ میلی گرم بر لیتر لووفلوکساسین به ترتیب ۸۸/۴ و ۶۳/۹۳ درصد بود. در شکل ۶ مشهود است که با افزایش غلظت ورودی آنتی بیوتیک ها، کارایی فرایند تخریب کاهش یافت. بنابراین، غلظت ۵ میلی گرم بر لیتر آموکسیسیلین و لووفلوکساسین به عنوان غلظت بهینه انتخاب شد.

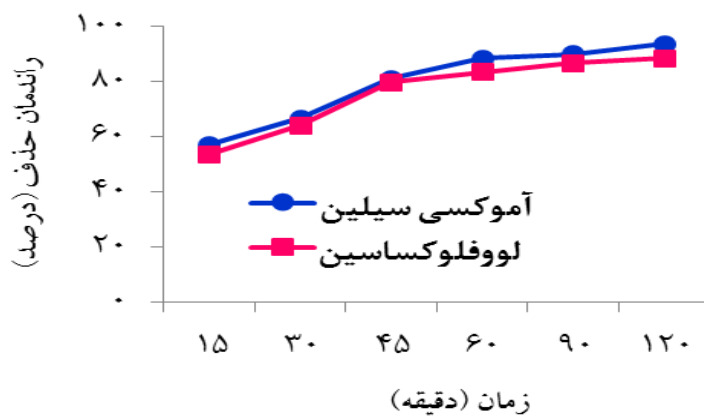
### ۴-۳. تأثیر غلظت فتوکاتالیست بر فرایند

#### تخریب آموکسیسیلین و لووفلوکساسین

پس از تعیین pH و غلظت بهینه آنتی بیوتیک ها در مراحل قبل، تأثیر غلظت های مختلف فتوکاتالیست  $\text{Ag/ZnO}$  (۰/۰۷۵، ۰/۱۵ و ۰/۳ گرم بر لیتر) بر فرایند تخریب فتوکاتالیستی در pH برابر ۵ و ۹ به ترتیب برای آموکسیسیلین و لووفلوکساسین، غلظت ۵ میلی گرم بر لیتر آموکسیسیلین و لووفلوکساسین و مدت زمان ۱۲۰ دقیقه بررسی شد



شکل ۷- تأثیر غلظت فتوکاتالیست بر فرایند تخریب آموکسیسیلین و لووفلوکساسین (غلظت اولیه آموکسیسیلین و لووفلوکساسین ۵ میلی‌گرم بر لیتر، pH محلول آموکسیسیلین و لووفلوکساسین به ترتیب ۵ و ۹)



شکل ۸- تأثیر زمان واکنش بر کارایی فرایند تخریب فتوکاتالیستی آموکسیسیلین و لووفلوکساسین (غلظت اولیه آموکسیسیلین و لووفلوکساسین ۵ میلی‌گرم بر لیتر، غلظت اولیه فتوکاتالیست ۱۵/۰ گرم بر لیتر، pH برای آموکسیسیلین و لووفلوکساسین به ترتیب ۵ و ۹)

میلی‌گرم بر لیتر آموکسیسیلین و لووفلوکساسین، pH آموکسیسیلین و لووفلوکساسین به ترتیب ۵ و ۹ در مدت زمان ۱۲۰ دقیقه با تابش لامپ UV با توان ۶ وات انجام گرفت. نتایج نشان داد که حداقل تخریب در تابش لامپ UV به مدت ۱۲۰ دقیقه برای آموکسیسیلین و لووفلوکساسین به ترتیب ۳/۱۴ و ۲/۷۳ درصد بود.

### ۷-۳. بررسی اثر فرایند تخریب فتوکاتالیستی بر

#### میزان حذف TOC در شرایط بهینه

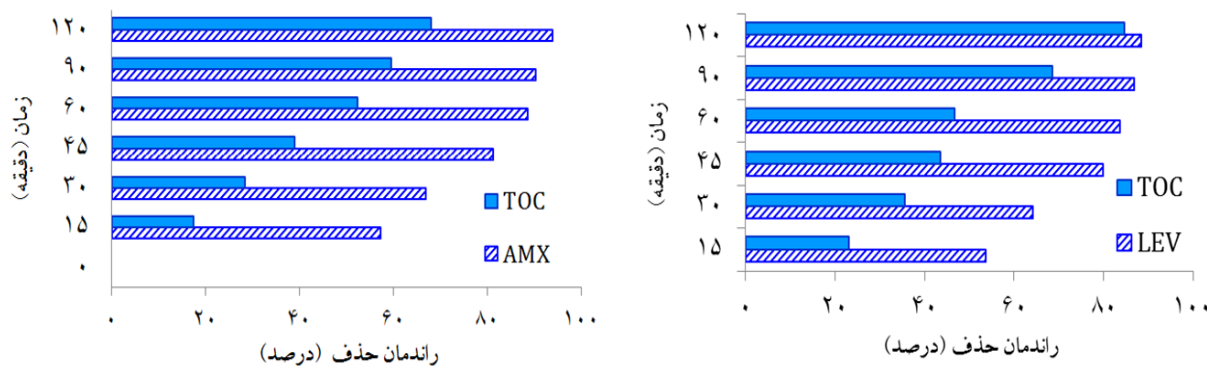
میزان تخریب آموکسیسیلین، لووفلوکساسین و TOC در شرایط بهینه فرایند تخریب فتوکاتالیستی pH برابر ۵ و ۹ به ترتیب برای آموکسیسیلین و

زمان واکنش، کارایی سیستم تخریب فتوکاتالیستی آموکسیسیلین و لووفلوکساسین افزایش یافت، چنانکه کارایی تخریب برای آموکسیسیلین از ۶۶/۷ درصد در زمان ۳۰ دقیقه به ۹۳/۷ درصد در زمان ۱۲۰ دقیقه و برای لووفلوکساسین از ۶۴/۱ درصد در زمان ۳۰ دقیقه به ۸۸/۴ درصد در زمان ۱۲۰ دقیقه رسید.

### ۳-۶. تأثیر شدت تابش و تخریب فتوولیزی

#### آموکسیسیلین و لووفلوکساسین

در این آزمایش تأثیر شدت تابش و تخریب فتوولیزی آموکسیسیلین و لووفلوکساسین بدون حضور کاتالیست بررسی شد. این آزمایش با غلظت اولیه ۵



شکل ۹- بازده حذف آموکسیسیلین و TOC (الف) و لووفلوکساسین و TOC (ب) در شرایط بهینه (غلظت کاتالیست ۱/۱۵ گرم در لیتر، غلظت اولیه آموکسیسیلین و لووفلوکساسین ۵ میلی گرم بر لیتر، pH ۵) به ترتیب ۵ و ۹

است که نقره به طور مناسبی در ساختار اکسید روی جای گرفته است. این نتایج با یافته های Vaiano و همکاران (۲۰۱۸) مطابقت دارد. تغییرات pH محلول از طریق تولید رادیکال های متنوع و تأثیر بر میزان اکسیداسیون آلاینده، اثر بسیار مهمی در کارایی فرایندهای تخریب فتوکاتالیستی دارد. در این پژوهش مناسب ترین pH برای آموکسیسیلین برابر ۵ و برای لووفلوکساسین برابر ۹ تعیین شد. Sayadi و همکاران (۲۰۱۹) به نتایج مشابهی در حذف آزیترومایسن از محیط های آبی با استفاده از Fe<sub>3</sub>O<sub>4</sub>/ZnO/SnO<sub>2</sub> دست یافتند، به طوری که نشان دادند pH اسیدی تأثیر مهمی در حذف آزیترومایسن دارد. صفری و همکاران (۲۰۱۴) نیز در تحقیقی درباره حذف آنتی بیوتیک تتراسایکلین با استفاده از اکسیداسیون پیشرفت، بیشترین بازده حذف را در pH برابر ۵ گزارش کردند. آنها در پژوهش خود به منظور بررسی تجزیه فتوکاتالیستی آنتی بیوتیک تتراسایکلین از محلول های آبی با استفاده از UV/TiO<sub>2</sub>/H<sub>2</sub>O<sub>2</sub> و UV/TiO<sub>2</sub> به این نتیجه رسیدند که حداقل بازده حذف (۹۱٪) در pH برابر ۵ حاصل می شود که با نتایج این پژوهش همخوانی دارد. در پژوهش Gupta و

لووفلوکساسین، غلظت ۰/۱۵ گرم بر لیتر فتوکاتالیست، غلظت ۵ میلی گرم بر لیتر آموکسیسیلین و لووفلوکساسین و مدت زمان ۱۲۰ دقیقه) در شکل ۹ نشان داده شده است. همان طور که مشاهده می شود با افزایش مدت زمان واکنش، میزان تخریب آموکسیسیلین، لووفلوکساسین و TOC افزایش یافت. نتایج نشان می دهد که تحت این شرایط بهینه، میزان حذف ۶۷/۸۶ و ۸۴/۵۶ درصد از TOC به ترتیب در طی فرایند تخریب فتوکاتالیستی آموکسیسیلین و لووفلوکساسین به دست آمد.

### ۳. بحث و نتیجه گیری

در این پژوهش، کارایی فتوکاتالیست Ag/ZnO در تخریب آنتی بیوتیک های آموکسیسیلین و لووفلوکساسین از محلول های آبی تحت شرایط آزمایشگاهی و با در نظر گرفتن تأثیر پارامتر های pH، غلظت های اولیه متفاوت آنتی بیوتیک ها، غلظت های مختلف کاتالیست و مدت زمان واکنش بررسی شد. نتایج مشترک آنالیز های XRD، FESEM و EDX موفقیت آمیز بودن سنتز نانوذرات Ag/ZnO را تأیید کرده است. ویژگی های ذرات سنتز شده حاکی از آن

که در نتیجه این کاهش نفوذ تابش در غلظت‌های بیشتر، آلاینده نمی‌تواند دچار تخریب شود. همچنین با افزایش غلظت آلاینده، ازآنجا که در شرایط ثابت، تولید رادیکال هیدروکسیل یکسان است، مولکول‌های جدید آنتی‌بیوتیک قادر به جذب روی سطح فتوکاتالیست نخواهند شد و بازده واکنش بهمراتب کاهش می‌یابد (Poorsajadi *et al.*, 2020). یکی دیگر از عوامل مؤثر بر کارایی فرایند، غلظت فتوکاتالیست است که مقدار بهینه آن به نوع آلاینده، غلظت اولیه آن و سرعت تولید رادیکال‌های آزاد بستگی دارد. بدین صورت که در این پژوهش، با افزایش غلظت فتوکاتالیست  $\text{Ag/ZnO}$  تا  $0/15$  گرم بر لیتر، بازده تخریب آنتی‌بیوتیک‌ها افزایش یافت، ولی ادامه روند افزایش غلظت از  $0/15$  به  $0/3$  گرم بر لیتر، بهترتیب کاهش عملکرد سیستم تخریب آموکسیسیلین و لووفلوکساسین از  $63/93$  به  $40/95$  درصد و از  $86/25$  به  $75/5$  درصد را در پی داشت. عامل اصلی افزایش بازده فرایند تخریب در مقدار بهینه غلظت فتوکاتالیست، توانایی بیشتر کاتالیست در جذب پرتو تابیده شده، برخورد بیشتر ذرات آنتی‌بیوتیک با سطح کاتالیست و نیز افزایش تولید رادیکال‌های هیدروکسیل است (Ahmadpour *et al.*, 2020b). افزایش بیش از حد غلظت بهینه فتوکاتالیست، تجمع بیش از اندازه نانوذرات را در پی دارد و کدورت محیط واکنش را افزایش می‌دهد. افزایش کدورت محلول تأثیر مهمی در کاهش نفوذ نور و افزایش پراکندگی آن در محیط دارد و در نتیجه سبب کاهش عملکرد کلی سیستم تخریب کاتالیستی می‌شود (Poorsajadi *et al.*, 2020). افزایش غلظت کاتالیست تا حد خاصی سبب افزایش بازده واکنش و پس از آن بهدلیل کاهش سطح در دسترس برای

همکاران (۲۰۱۷) با هدف تجزیه فتوکاتالیستی لووفلوکساسین از محلول‌های آبی با استفاده از  $\text{Ag/AgBr/BiOBr}$  تحت تابش نور مرئی حداکثر بازده حذف (۷۴ درصد) در  $\text{pH} 8$  بهدست آمد. ایشان نشان دادند که در تجزیه فتوکاتالیستی لووفلوکساسین از محلول‌های آبی، فعالیت فتوکاتالیستی در محیط قلیایی بیشتر از محیط اسیدی است. نتایج مشابهی در این خصوص برای تخریب فتوکاتالیستی لووفلوکساسین با کامپوزیت  $\text{Bi}_3\text{O}_4\text{Cl}/\text{BiOCl}$  ارائه شده است (Zhong *et al.*, 2020). غلظت اولیه آلاینده از دیگر عوامل مؤثر بر کارایی فرایند تخریب فتوکاتالیستی است. تخریب فتوکاتالیستی آموکسیسیلین و لووفلوکساسین بیانگر آن است که کارایی فرایند تخریب با افزایش غلظت آنتی‌بیوتیک کاهش می‌یابد. در پژوهش Mostafapour و همکاران (۲۰۱۶) برای حذف آنتی‌بیوتیک سیپروفلوکساسین در غلظت‌های  $10$  تا  $200$  میلی‌گرم بر لیتر با استفاده از نانوذرات اکسید مس در محیط‌های آبی توسط فرایند فتوکاتالیستی نتیجه مشابهی بهدست آمد. Gholami و همکاران در سال ۲۰۱۹ نیز در تجزیه فتوکاتالیستی آنتی‌بیوتیک کلیندامایسین در غلظت‌های گوناگون با استفاده از نانوکاتالیست تیتانیوم به این مهم دست یافتند که با افزایش غلظت اولیه کلیندامایسین، بازده حذف کاهش می‌یابد. توجیه کاهش کارایی تخریب با افزایش غلظت آموکسیسیلین و لووفلوکساسین این است که با افزایش غلظت آنتی‌بیوتیک مدت زمان بیشتری برای انجام فرایند تجزیه فتوکاتالیستی نیاز است. از سوی دیگر افزایش غلظت آنتی‌بیوتیک مانع جذب پرتو UV تابیده شده توسط کاتالیست می‌شود

فرایند فتوکاتالیستی [UV / ZnO] ۷۴/۶۵ درصد در پارامترهای بهینه در مدت زمان ۱۸۰ دقیقه به دست آمد (Chavoshan *et al.*, 2020). براساس نتایج، فرایند تخریب فتوکاتالیستی آنتیبیوتیک‌های آموکسیسیلین و لووفلوکساسین در حذف TOC و معدنی‌سازی قابلیت مناسبی داشت و با افزایش زمان، درصد حذف TOC افزایش یافت. تحقیق Amraei و همکاران (۲۰۱۷) برای حذف آموکسیسیلین نشان داد که میزان حذف TOC در شرایط بهینه ۳۶/۴۲ درصد بود. همچنین مشخص شد که این فرایند در حذف آموکسیسیلین کارایی مناسبی داشت؛ اما با توجه به اینکه فرایند معدنی‌سازی کنترل از حذف آلاینده انجام می‌گیرد، برای حذف مناسب TOC به زمان بیشتری نیاز است. Chen و همکاران (۲۰۱۵) نیز در پژوهشی درباره حذف لووفلوکساسین از محلول‌های آبی، در مدت زمان ۶۰ دقیقه به حدود ۵۵ درصد و پس از ۱۲۰ دقیقه به ۹۰ درصد حذف TOC دست یافتند که همسو با نتایج پژوهش فعلی است. انتخاب مدت زمان واکنش بهینه در فرایند حذف فتوکاتالیستی آلاینده عاملی مؤثر بر دیگر پارامترهای عملیاتی است. از این‌رو در این تحقیق با افزایش زمان تماس واکنش بازده تخریب افزایش یافت. این موضوع نشان‌دهنده تأثیر بیشتر مدت زمان تابش بر افزایش رادیکال‌های حاصل از واکنش و در نتیجه بهبود کارایی تخریب آنتیبیوتیک است. این نتایج با یافته Mostafapour و همکاران (۲۰۱۶) سازگار است. آنان نشان دادند که استفاده از Ag/ZnO تحت تابش پرتو فرابنفش در حذف آنتیبیوتیک از هر دو محیط اسیدی و قلیایی کارایی مناسبی خواهد داشت. براساس نتایج این پژوهش و با توجه به عملکرد قابل قبول نانوذرات Ag/ZnO

جذب نور، موجب کاهش بازده تجزیه آنتیبیوتیک می‌شود (Ahmadpour *et al.*, 2020 a and b). Esrafilی و همکاران (۲۰۱۸) در تحقیقی با هدف حذف فتوکاتالیستی مترونیدازول با استفاده از  $\text{Fe}_3\text{O}_4@\text{SiO}_2@\text{TiO}_2$  نانوکاتالیست معناطیسی تحت تابش پرتو فرابنفش به این نتیجه رسیدند که با افزایش غلظت کاتالیست از ۰/۵ به ۲ گرم در لیتر بازده حذف از ۸۹/۱۵ درصد به ۹۷/۴ می‌رسد و افزایش بیشتر کاتالیست، سبب کاهش بازده حذف تا ۹۴/۱۸ درصد می‌شود. در تحقیقی، نتایجی مشابه در حذف آنتیبیوتیک از محیط‌های آبی به دست آمد، چنانکه مشخص شد غلظت کاتالیست اثر مهمی در حذف آنتیبیوتیک‌ها دارد (Ahmadpour *et al.*, 2020a). همچنین Amraei و همکاران (۲۰۱۷) در بررسی کارایی کاتالیست  $\text{CuFe}_2\text{O}_4$  با هدف حذف آنتیبیوتیک آموکسیسیلین از محیط‌های آبی به نتایج مشابهی دست یافتند. بنابراین افزایش حذف آموکسیسیلین تا مقدار معینی از غلظت فتوکاتالیست مشاهده می‌شود. Debnath و همکاران (۲۰۲۱) در تحقیقی درباره تخریب آنتیبیوتیک AMX با تجزیه فتوکاتالیستی با استفاده از AMX نانوذرات اکسید، نشان دادند که ۹۰ درصد UV-AMX ممکن است در تابش ۱۲۰ دقیقه تحت تابش-B به روشن فتوکاتالیستی تخریب شود. در تحقیق دیگری، حذف فتوکاتالیستی آنتیبیوتیک پنی‌سیلین G از فاضلاب شبیه‌سازی‌شده با استفاده از نوعی فرایند فتوکاتالیستی [UV / ZnO] بررسی شد. پس از به دست آوردن پارامترهای بهینه، غلظت باقی‌مانده پنی‌سیلین G با استفاده از دستگاه اسپکتروفوتومتری با طول موج ۲۸۳ نانومتر اندازه‌گیری شد. نتایج تحقیق نشان داد که بازده حذف پنی‌سیلین G از

پیشنهاد می‌شود تا نتایج کاربردی‌تری به دست آید.

## تشکر و قدردانی

این تحقیق در قالب طرح پژوهشی به شماره ابلاغیه ۱۳۹۷/۵/۳۱۶۷ مورخ ۱۳۹۷/۲/۱۶۹۷ و با استفاده از اعتبارات پژوهشی دانشگاه بیرجند انجام شده است که بدینوسیله تشکر و قدردانی می‌شود.

استفاده از این فتوکاتالیست در حذف دیگر آنتی‌بیوتیک‌ها تحت تابش پرتو فرابنفش پیشنهاد می‌شود. همچنین در تحقیقات تکمیلی آینده، بررسی تأثیر پارامترهای دیگر مانند دما و شدت تابش، شناسایی و بررسی فرآورده‌های جانبی تولیدشده در طی فرایند تخریب فتوکاتالیستی و نیز قابلیت احیای فتوکاتالیست به کاررفته توسط دیگر پژوهشگران

## References

- Ahmadvour, N., Sayadi, M. H., Sobhani, S., Hajiani, M., 2020a. A potential natural solar light active photocatalyst using magnetic ZnFe<sub>2</sub>O<sub>4</sub>@TiO<sub>2</sub>/Cu nanocomposite as a high performance and recyclable platform for degradation of naproxen from aqueous solution. *Journal of Cleaner Production* 268, 122023.
- Ahmadvour, N., Sayadi, M.H., Sobhani, S., Hajiani, M., 2020b. Photocatalytic degradation of model pharmaceutical pollutant by novel magnetic TiO<sub>2</sub>@ZnFe<sub>2</sub>O<sub>4</sub>/Pd nanocomposite with enhanced photocatalytic activity and stability under solar light irradiation. *Journal of Environmental Management* 271, 110964.
- Amraei, B., Rezaei, R., Jonidi, A., Gholami, M., 2017. Efficiency of CuFe<sub>2</sub>O<sub>4</sub> Bimetallic in Removing Amoxicillin from Aqueous Solutions. *Journal of Mazandaran University of Medical Sciences* 27, 259-275.
- Chavoshan, S., Khodadadi, M., Nasseh, N., 2020. Photocatalytic degradation of penicillin G from simulated wastewater using the UV/ZnO process: isotherm and kinetic study. *Journal of Environmental Health Science and Engineering* 1-11.
- Chen, Q., Xin, Y., Zhu, X., 2015. Au-Pd nanoparticles-decorated TiO<sub>2</sub> nanobelts for photocatalytic degradation of antibiotic levofloxacin in aqueous solution. *Electrochimica Acta* 186, 34-42.
- Debnath, P., Sen, K., Mondal, A., Mondal, A., Mondal, N.K., 2021. Insight into Photocatalytic Degradation of Amoxicillin by Biofabricated Granular Zinc Oxide Nanoparticle: Mechanism, Optimization and Toxicity Evaluation. *International Journal of Environmental Research* 1-13.
- Dou, M., Wang, J., Gao, B., Xu, C., Yang, F., 2020. Photocatalytic difference of amoxicillin and cefotaxime under visible light by mesoporous g-C<sub>3</sub>N<sub>4</sub>: Mechanism, degradation pathway and DFT calculation. *Chemical Engineering Journal* 383, 123134.
- Esrafil, A., Khosravi, S., Gholami, M., Farzadkia, M., Abdorahimi, G., 2018. Photocatalytic Removal of Metronidazole Using Magnetic TiO<sub>2</sub> Nanocatalyst (Fe<sub>3</sub>O<sub>4</sub>@SiO<sub>2</sub>@TiO<sub>2</sub>): Synthesis, Characterization, and Operational Parameters. *Journal of Mazandaran University of Medical Sciences* 28, 97-115.
- Ghannadi, M., 2018. Drugs in Water: Environmental Concerns, an Alarming Truth. *Journal of Water and Wastewater Science and Engineering* 3(3), 3-16.
- Gholami, A., Hajiani, M., Sayadi, M.H. 2019. Investigation of photocatalytic degradation of clindamycin by TiO<sub>2</sub>. *Journal of Water and Environmental Nanotechnology* 4(2), 139-146.
- Gupta, G., Kaur, A., Sinha, A.S., Kansal, S.K., 2017. Photocatalytic degradation of levofloxacin in aqueous phase using Ag/AgBr/BiOBr microplates under visible light. *Materials Research Bulletin*, 88, 148-55.
- Li, Q., Jia, R., Shao, J., He, Y., 2019. Photocatalytic degradation of amoxicillin via TiO<sub>2</sub> nanoparticle coupling with a novel submerged porous ceramic membrane reactor. *Journal of Cleaner Production* 209, 755-261.
- Martínez-Vargas, B.L., Durón-Torres, S.M., Bahena, D., Rodríguez-López, J.L., Peralta-Hernández, J.M., Picos, A., 2019. One-pot synthesis of ZnO-Ag and ZnO-Co nanohybrid materials for photocatalytic applications. *Journal of Physics and Chemistry of Solids* 135, 109-120.

Moosavi, F., Tavakoli, T., Nikravech, M., Khley, C., Kanaev, A., 2019. Investigation of removal of amoxicillin antibiotic from water by photocatalyst in different operating conditions. *Journal of Natural Environment* 72(3), 379-388.

Mortazavi, S., Norozi Fard, P., 2017. Tracing Antibiotic Compounds (amoxicillin, erythromycin, gentamicin and cephalexin) in Karaj River, Iran 2015. *Journal of Mazandaran University Medical Sciences* 27, 141-156.

Mostafapour, F., Bazrafshan, E., Belarak, D., Khoshnamvand, N., 2016. Survey of Photocatalytic Degradation of Ciprofloxacin Antibiotic Using Copper Oxide Nanoparticles (UV/CuO) in Aqueous Environment. *Journal of Rafsanjan University of Medical Sciences* 15(4), 307-318.

Mou, H., Song, C., Zhou, Y., Zhang, B., Wang, D., 2018. Design and synthesis of porous Ag/ZnO nanosheets assemblies as super photocatalysts for enhanced visible-light degradation of 4-nitrophenol and hydrogen evolution. *Applied Catalysis B: Environmental* 221, 565-73.

Patil, R.S., Kokate, M.R., Shinde, D.V., Kolekar, S.S., Han, S.H., 2014. Synthesis and enhancement of photocatalytic activities of ZnO by silver nanoparticles. *Spectrochimica Acta Part A: Molecular and Biomolecular Spectroscopy*. 122:113-7.

Poorsajadi, F., Sayadi, M.H., Hajiani, M., Rezaei, M.R., 2020. Synthesis of CuO/Bi<sub>2</sub>O<sub>3</sub> nanocomposite for efficient and recycling photodegradation of methylene blue dye. *International Journal of Environmental Analytical Chemistry* 1-14.

Sayadi, A. R., Asadpour, M., Shabani, Z., Sayadi, M.H., 2012. Pharmaceutical pollution of the eco-

system and its detrimental effects on public health. *Journal of Rafsanjan University of Medical Sciences* 11(3), 269-284.

Safari, G., Hoseini, M., Kamali, H., Moradirad, R., Mahvi, A., 2014. Photocatalytic Degradation of Tetracycline Antibiotic from Aqueous Solutions Using UV/TiO<sub>2</sub> and UV/H<sub>2</sub>O<sub>2</sub>/TiO<sub>2</sub>. *Journal of Health* 5(3), 203-2013.

Sayadi, M.H., Homaeigohar, S., Rezaei, A., Shekari, H., 2020. Bi/SnO<sub>2</sub>/TiO<sub>2</sub>-graphene nanocomposite photocatalyst for solar visible light-induced photodegradation of pentachlorophenol. *Environmental Science and Pollution Research* 1-12.

Sayadi, M.H., Trivedy, R.K., Pathak, R.K., 2010. Pollution of pharmaceuticals in environment. *I Control Pollution* 26(1), 89-94.

Sayadi, M.H., Sobhani, S., Shekari, H. 2019. Photocatalytic degradation of azithromycin using GO@ Fe<sub>3</sub>O<sub>4</sub>/ZnO/SnO<sub>2</sub> nanocomposites. *Journal of Cleaner Production* 232, 127-136.

Vaiano, V., Matarangolo, M., Murcia, J.J., Rojas, H., Navío, J.A., Hidalgo, M.C., 2018. Enhanced photocatalytic removal of phenol from aqueous solutions using ZnO modified with Ag. *Applied Catalysis B: Environmental* 225, 197-206.

Yazdani, A., Sayadi, M.H., 2018. Sonochemical degradation of azithromycin in aqueous solution. *Environmental Health Engineering and Management* 5(2), 85-92.

Zhong, X., Zhang, K.X., Wu, D., Ye, X.Y., Huang, W., Zhou, B.X., 2020. Enhanced photocatalytic degradation of levofloxacin by Fe-doped BiOCl nanosheets under LED light irradiation. *Chemical Engineering Journal* 383, 123148.